

ДИНАМИКА ТЕПЛО- И МАССОПЕРЕНОСА ПРИ СУШКЕ КАПИЛЛЯРНО-ПОРИСТОГО ЦИЛИНДРИЧЕСКОГО ТЕЛА КОНЕЧНОЙ ДЛИНЫ

Сороковая Н.Н.

Институт технической теплофизики ntps@bk.ru

Излагается методика численного исследования двумерных задач теплопереноса и фазовых превращений при обезвоживании капиллярно-пористых тел цилиндрической формы конечной длины. Представлены результаты расчетных и экспериментальных данных.

Ключевые слова:

Математическое моделирование, капиллярно-пористое тело, численные методы.

На практике нередко возникает необходимость расчета динамики сушки двумерных и трехмерных тел. Основные особенности моделирования пространственных задач сушки проявляются при решении их в двумерной постановке. Ниже излагается методика моделирования динамики сушки в капиллярно-пористом теле, имеющем форму конечного цилиндра, которая базируется на разработанных ранее математических моделях [1].

Рассмотрим капиллярно-пористое цилиндрическое тело, поры которого заполненные жидкостью и парогазовой смесью. Будем обозначать влагу в виде жидкости и пара соответственно индексами ж и п, воздух – в, скелет тела – индексом т. При обдувании тела сушильным агентом с температурой $T_c \leq 100^\circ \text{C}$, когда фильтрацией и термодиффузией компонентов можно пренебречь, теплоперенос осуществляется диффузионным путем вследствие хаотичного движения молекул. Тогда дифференциальные уравнения массопереноса жидкости и пара и переноса энергии для системы в целом с учетом формулы для интенсивности испарения жидкости в порах тела приведенного в [2], имеют следующий вид:

$$\frac{\partial U_{\text{ж}}}{\partial t} = \frac{1}{r} \frac{\partial}{\partial r} \left(D_{\text{ж}} r \frac{\partial U_{\text{ж}}}{\partial r} \right) + \frac{\partial}{\partial y} \left(D_{\text{ж}} \frac{\partial U_{\text{ж}}}{\partial y} \right) - \gamma_V \left[\exp\left(\frac{A}{RT}\right) - 1 \right]^{-1} (1 - \varphi), \quad (1)$$

$$\frac{\partial U_{\text{п}}}{\partial t} = \frac{1}{r} \frac{\partial}{\partial r} \left(D_{\text{п}} r \frac{\partial U_{\text{п}}}{\partial r} \right) + \frac{\partial}{\partial y} \left(D_{\text{п}} \frac{\partial U_{\text{п}}}{\partial y} \right) + \gamma_V \left[\exp\left(\frac{A}{RT}\right) - 1 \right]^{-1} (1 - \varphi), \quad (2)$$

$$c_{\text{эф}} \frac{\partial T}{\partial t} = \frac{1}{r} \frac{\partial}{\partial r} \left(\lambda_{\text{эф}} r \frac{\partial T}{\partial r} \right) + \frac{\partial}{\partial y} \left(\lambda_{\text{эф}} \frac{\partial T}{\partial y} \right) - L \gamma_V \left[\exp\left(\frac{A}{RT}\right) - 1 \right]^{-1} (1 - \varphi). \quad (3)$$

Здесь $U_{\text{ж}}$, $U_{\text{п}}$ – объемные концентрации жидкости и пара; T – температура; t – время; L – удельная теплота парообразования при данном влагосодержании тела; $c_{\text{эф}}$ – эффективная теплоемкость, $c_{\text{эф}} = c_{\text{т}} U_{\text{т}} + c_{\text{ж}} U_{\text{ж}} + c_{\text{п}} U_{\text{п}} + c_{\text{в}} U_{\text{в}}$; $\lambda_{\text{эф}}$ – эффективная теплопроводность,

$\lambda_{эф} = \lambda_{\tau} U_{\tau} / \rho_{\tau} + \lambda_{ж} U_{ж} / \rho_{ж} + \lambda_{п} U_{п} / \rho_{п} + \lambda_{в} U_{в} / \rho_{в}$; γ_V – объемный коэффициент интенсивности испарения, ϕ – относительная влажность газа в порах тела, $\phi = U_{п} / [\Psi_{\Gamma} P_{п}(T)]$, $\Psi_{\Gamma} = 1 - P - \Psi_{ж}$, P – пористость тела, Ψ_{Γ} , $\Psi_{ж}$ – объемные доли газа и жидкости, $P_{п}$ – давление насыщенного пара; $D_{ж}$, $D_{п}$ – эффективные коэффициенты диффузии жидкости [3] и пара, $D_p = \gamma_D [\exp(A_D / RT) - 1]^{-1}$, $D_{п} = \gamma_{п} T^{3/2} / P_{\Gamma}$; A , A_D – энергии активации молекул жидкости для процессов испарения и диффузии; R – удельная газовая постоянная; γ_D , $\gamma_{п} = \text{const}$. При отсутствии фильтрации давление парогазовой смеси P_{Γ} в порах тела равняется давлению окружающей среды.

Граничные условия для уравнений (1)–(3) можно представить в следующем виде

$$D_{ж} \frac{\partial U_{ж}}{\partial v} \Big|_{v=0} = \gamma_c \left\{ \left[\exp\left(\frac{A}{RT}\Big|_{v=0}\right) - 1 \right]^{-1} - \phi_c \left[\exp\left(\frac{A}{RT_c}\right) - 1 \right]^{-1} \right\}, \quad (4)$$

$$- D_{п} \frac{\partial U_{п}}{\partial v} \Big|_{v=0} = \gamma_{сн} (U_{п}|_{v=0} - \rho_{пс} \Psi_{п}), \quad (5)$$

$$\lambda_{эф} \frac{\partial T}{\partial v} \Big|_{v=0} = \alpha (T_c - T|_{v=0}) - L \gamma_c \left\{ \left[\exp\left(\frac{A}{RT}\Big|_{v=0}\right) - 1 \right]^{-1} - \phi_c \left[\exp\left(\frac{A}{RT_c}\right) - 1 \right]^{-1} \right\}. \quad (6)$$

где γ_c – поверхностный коэффициент интенсивности испарения; v – нормаль к поверхности тела; ϕ_c – степень насыщения внешней парогазовой среды.

Численная реализация системы (1) – (3) проводится на основе трехслойной явной разностной схемы [4], которая характеризуется простотой, свойственной явным схемам, и позволяет, как для неявных схем, выбирать практически произвольно шаги разностной сетки. Разностная аппроксимация уравнения (1) в цилиндрических координатах на сетке $r_i = R_{вн} + ih$ ($i = 0, 1, \dots$, $h = \text{const}$, внутренний радиус $R_{вн} \geq 0$), $y_m = mh_y$, ($m = 0, 1, \dots$, $h_y = \text{const}$), $t_n = nl$ ($n = 0, 1, \dots$, $l > 0$) в соответствии с указанной схемой имеет вид

$$\begin{aligned} (1 + \Omega_{ж}) \frac{U_{жим}^{n+1} - U_{жим}^n}{l} - \Omega_{ж} \frac{U_{жим}^n - U_{жим}^{n-1}}{l} = \frac{1}{2r_{им} h^2} \left[(D_{ж\ i+1,m} r_{i+1,m} + D_{ж\ im} r_{im}) (U_{ж\ i+1,m}^n - U_{ж\ im}^n) - \right. \\ \left. - (D_{ж\ im} r_{im} + D_{ж\ i-1,m} r_{i-1,m}) (U_{ж\ im}^n - U_{ж\ i-1,m}^n) \right] / h^2 + \left[(D_{ж\ i,m+1} + D_{ж\ im}) (U_{ж\ i,m+1}^n - U_{ж\ im}^n) - \right. \end{aligned} \quad (9)$$

$$\left. (D_{ж\ im} + D_{ж\ i,m-1}) (U_{ж\ im}^n - U_{ж\ i,m-1}^n) \right] / h_y^2 - \gamma_V \left[\exp\left(\frac{A}{R_y T}\right) - 1 \right]^{-1} (1 - \phi).$$

Весовой параметр разностного уравнения $\Omega_{ж} \geq 0$ устраняет ограничение на шаг по времени.

Его значение выбирается после построения разностной сетки исходя из условия

устойчивости $l \leq (1 + 2\Omega_{ж}) / [2(1/h + 1/h_y)]$. Расчетный шаг по времени l определяется из условия $l \leq \{l_t; l_{ж}; l_{п}\}$.

В результате численного решения системы (1) – (3) при граничных условиях (4) – (6) определялись нестационарные поля температуры, объемной концентрации жидкости и пара, а также кинетические характеристики процесса сушки капиллярно-пористого керамического тела, которое имеет форму сплошного и полого цилиндра с толщиной стенки $\delta_{ст} = R_{нар} - R_{вн} = 0,01$ м и высотой $Y = 0,02$ м. Внутренний радиус $R_{вн}$ варьировался. Сушка производилась нагретым воздухом. Расчеты проводились при следующих исходных значениях параметров: $T_0 = 20$ °С; $w_c = 3,5$ м/с; $d_c = 8$ г/кг с. в.; $P_c = 0,981 \cdot 10^5$ Па; $U_0 = 260$ кг/м³; $W_0 = 0,13$ кг/кг; $\Pi = 0,27$; $\lambda_T = 0,78$ Вт/(м·К); $c_T = 790$ Дж/(кг·К); $\rho_T = 2629$ кг/м³; $\varphi_c = 0,1045$; $\alpha = 26$ Вт/(м²·К); $\gamma_D = 1,3 \cdot 10^{-9}$ м²/с, $\gamma_{п} = 0,58 \cdot 10^{-6}$ Н/(с·К^{3/2}); $A = A_D = 0,4205 \cdot 10^8$ Дж/кмоль. Коэффициенты тепло- и массообмена на внешней поверхности цилиндра принимались одинаковыми.

На рис. 1(а) изображено распределение концентрации жидкости в осевом сечении керамической цилиндрической стенки тела, когда $R_{вн} = \delta_{ст}$, в разные моменты времени. С уменьшением $R_{вн}$ отвод выпаренной влаги от внутренней поверхности цилиндрического тела усложняется, что приводит к еще большему нарушению симметрии изолиний объемной концентрации относительно вертикальной оси, а также к увеличению продолжительности сушки.

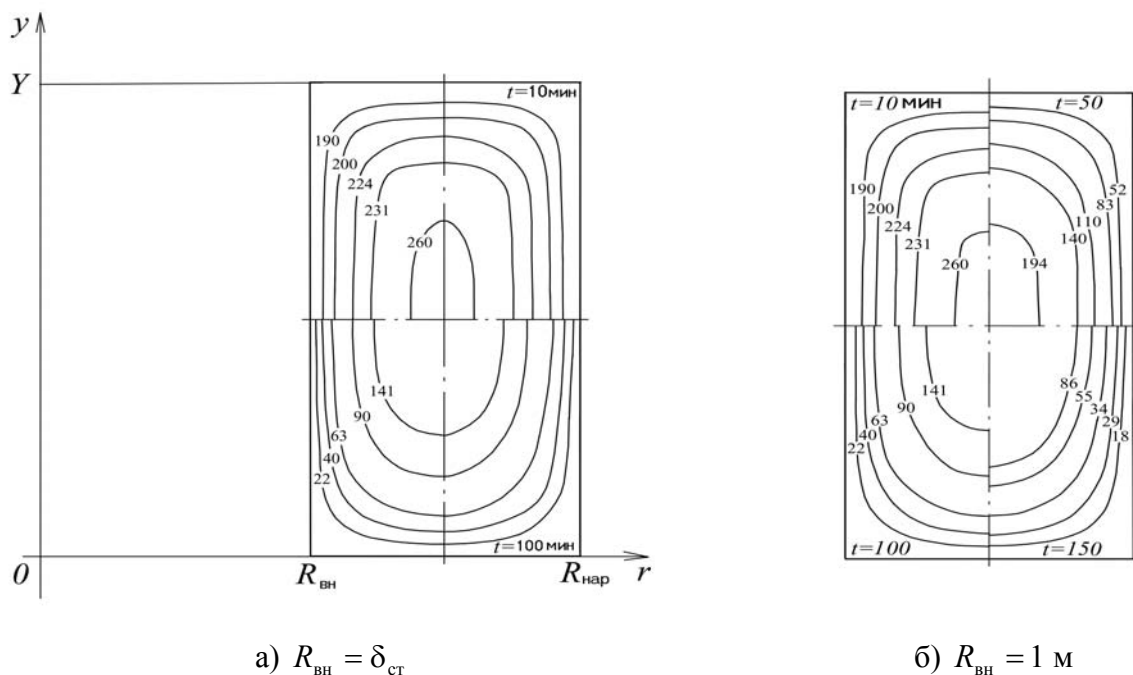


Рис. 1. Изолинии объемной концентрации жидкости в стенке цилиндрического керамического тела с внутренним радиусом $R_{вн}$ в разные моменты времени. $T_c = 50$ °С.

На рис. 1(б) представлены изолинии объемной концентрации жидкости в разные моменты времени, когда внутренний радиус $R_{\text{вн}}$ существенно превышает другие размеры тела. При таких условиях изолинии являются симметричными относительно осей симметрии сечения.

Численные эксперименты показали, что при $2R_{\text{нар}}/Y > 6$ время сушки сплошного цилиндра с увеличением $R_{\text{нар}}$ меняется не существенно, и практически совпадает с продолжительностью сушки бесконечной пластины толщиной Y .

На рис. 2. представлены графики изменения среднего влагосодержания для керамического тела в форме сплошного цилиндра с размерами $R_{\text{нар}} = 0,04$ м и $Y = 0,012$ м, найденный в результате расчета на базе представленной выше математической модели, и в форме бесконечной пластины толщиной $Y = 0,012$ м, полученный экспериментальным путем. Результаты численного и физического моделирования довольно хорошо согласовываются, что свидетельствует об адекватности представленной методики расчета

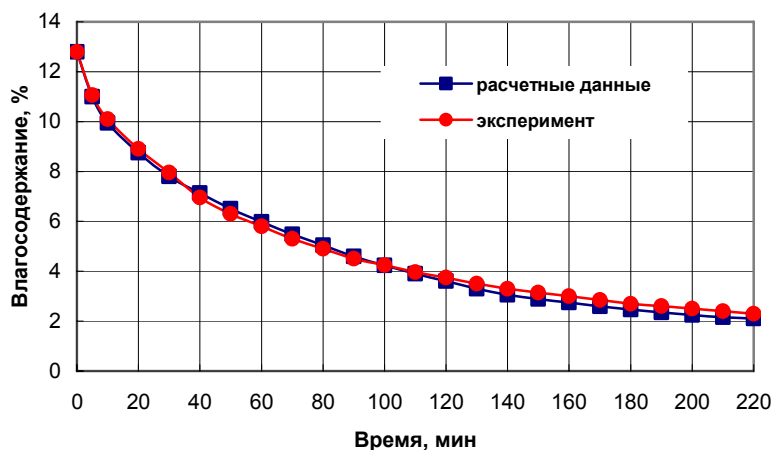


Рис. 2. Изменение в времени среднего влагосодержания W при сушке керамических сплошного цилиндра и бесконечной пластины теплоносителем с параметрами $T_c = 50$ °C; $w_c = 3,5$ м/с; $d_c = 8$ г/кг с. в.

На рис.3 представлены графики изменения температуры T (а) и избыточной объемной концентрации жидкости $U_{\text{ж}} - U_p$ (б), где U_p – равновесное значение, в характерных точках среднего сечения по высоте сплошного цилиндра с размерами $R_{\text{нар}} = 0,01$ м и $Y = 0,02$ м. Обезвоживание осуществлялось теплоносителем с параметрами $T_c = 70$ °C; $w_c = 3,5$ м/с; $d_c = 8$ г/кг сухого воздуха. Максимальные перепады температуры и объемной концентрации жидкости в теле наблюдаются в первом периоде сушки. Для керамических изделий этот период является наиболее опасным с точки зрения трещинообразования. Определение

параметров теплоносителя, при которых градиенты температуры и концентрации жидкости не превышают предельно допустимых значений для глин данного месторождения позволит избежать возникновения трещин при сушке и обжиге керамических изделий.

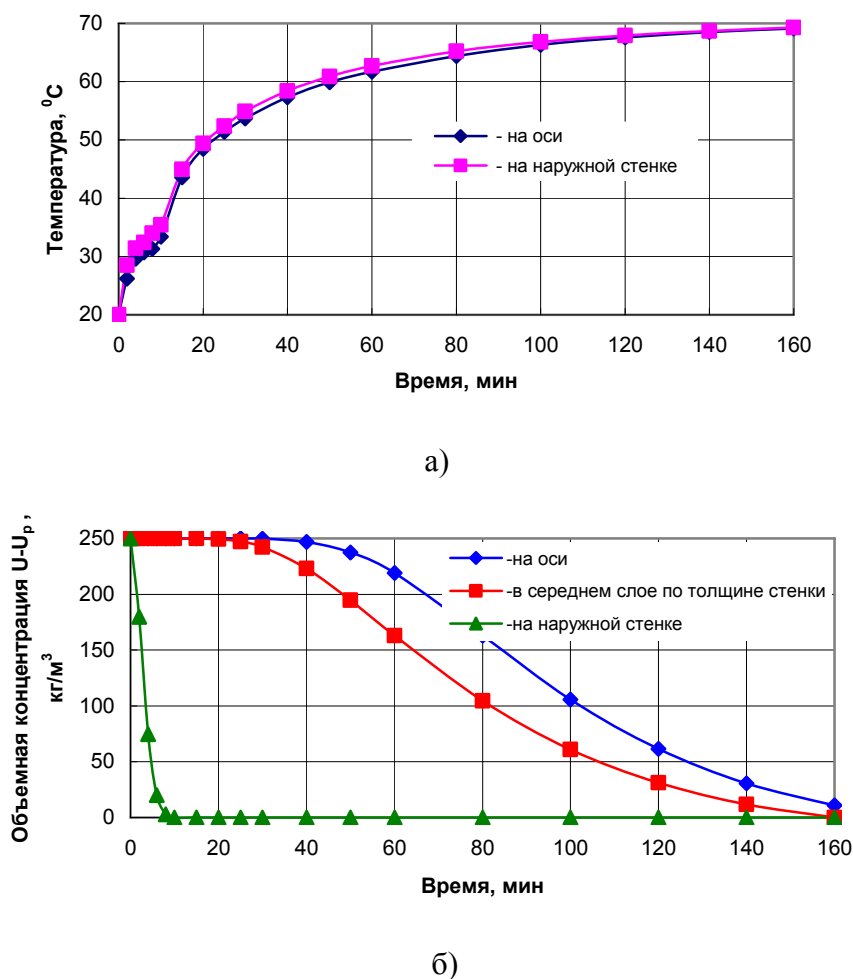


Рис.3. Графики изменения температуры (а) и избыточной объемной концентрации жидкости (б) в характерных точках среднего сечения по высоте сплошного цилиндра.

Выводы

Сопоставление результатов численного моделирования с полученными экспериментальными данными свидетельствует о возможности использования представленной методики для расчета динамики тепло- и массопереноса при сушке капиллярно-пористых систем с целью выбора оптимальных технологических параметров процесса.

Л и т е р а т у р а

1. Никитенко Н.И., Снежкин Ю.Ф., Сороковая Н.Н. Математическая модель и метод расчета тепломассопереноса и фазовых превращений в процессах сушки. // Пром. теплотехника. – 2001.–Т. 23. № 3. –С. 65–73.

2. Никитенко Н.И., Снежкин Ю.Ф., Сороковая Н.Н. Математическая модель и метод расчета тепломассопереноса, фазовых превращений и усадки в процессах сушки. //Доп. НАН України.– 2002. – №9. – С.81 – 89.
3. Никитенко Н.И. Проблемы радиационной теории тепло - и массопереноса в твердых и жидких средах. Инж.-физ. журн.// – 2000. – Т. 73. – № 4. – С. 851 – 860.
4. Никитенко Н.И. Теория тепломассопереноса. Киев: Наук. думка, 1983. – 352 с.